

بررسی ساختار سرعتی پوسته در زیر شبکه لرزه‌نگاری قوچان با استفاده از برگردان زمان سیر امواج زمین‌لرزه‌های محلی

مصطفی جوان‌مهری^{۱*}، اسماعیل بایرام‌نژاد^۲، محمد رضا قیطانچی^۳ و سید محمود اظهری^۴

^۱ دانشجوی کارشناسی ارشد ژئوفیزیک، گروه فیزیک زمین، مؤسسه ژئوفیزیک دانشگاه تهران، ایران

^۲ استادیار، گروه فیزیک زمین، مؤسسه ژئوفیزیک دانشگاه تهران، ایران

^۳ استاد، گروه فیزیک زمین، مؤسسه ژئوفیزیک دانشگاه تهران، ایران

^۴ دانشجوی کارشناسی ارشد ژئوفیزیک، گروه فیزیک زمین، مؤسسه ژئوفیزیک دانشگاه تهران، ایران

(دریافت: ۹۱/۴/۱۲، پذیرش نهایی: ۹۱/۴/۱۳)

چکیده

روش مدل‌سازی وارون همزمان پارامترهای زمین‌لرزه‌ای یکی از روش‌های متداول در تحقیقات ساختار سرعتی پوسته زمین است. در این روش، پارامترهای مکانی و زمانی زمین‌لرزه‌ها و ساختار سرعتی پوسته، طی مراحل مدل‌سازی وارون به‌طور همزمان بهینه می‌شوند. در این تحقیق برای تعیین مدل سرعتی بهینه پوسته در ناحیه کپه‌داغ از روش مدل‌سازی وارون هزمزن و نرم‌افزار ولست استفاده شده است. ناحیه کپه‌داغ، قسمتی از کمرنده کوه‌زایی آلب-هیمالیا است که در شمال شرق ایران و روی حاشیه جنوب غربی پوسته قاره‌ای توران قرار دارد. شهر قوچان که در مرکز این ناحیه واقع شده، از ۱۸۰ تا به حال، بارها با زمین‌لرزه‌های بزرگ و مخرب ویران شده است. این زمین‌لرزه‌ها از بزرگ‌ترین زمین‌لرزه‌های بودند که در طول ۱۶۰ سال اخیر در منطقه کپه‌داغ رخ داده‌اند و تلفات و خسارات بسیاری در شهر قوچان و دهکده‌های اطراف آن برگای گذاشته‌اند. در ابتدا برای برآورد مدل یک‌بعدی اولیه از نمودار زمان سیر اولین فازهای رسیده بر حسب فاصله استفاده شده است و از نتیجه آن در مراحل بعدی برای تهیه تعدادی مدل اولیه مورد نیاز در نرم‌افزار ولست استفاده شد. سپس با به کارگیری نرم‌افزار ولست مدل پوسته نهایی محاسبه شد که بر وجود سه لایه با سرعت‌های ۵/۹۵ تا ۵ کیلومتری، ۱/۶ تا عمق ۱۵ کیلو متری و ۷/۹۷ اعمق بیش از ۴۶ کیلومتر دلالت می‌کند.

واژه‌های کلیدی: کپه‌داغ، مدل‌سازی وارون هزمزن، نرم‌افزار ولست، مدل سرعتی پوسته

Crustal seismic velocity structure study in Kope Dagh using simultaneous inversion modeling

Javan-Mehri, M.¹, Bayramnejad, E.², Gheitanchi, M. R.³ and Azhari, S. M.⁴

¹M.Sc. Student of Geophysics, Earth Physics Department, Institute of Geophysics, University of Tehran, Iran

²Assistant Professor, Earth Physics Department, Institute of Geophysics, University of Tehran, Iran

³Professor, Earth Physics Department, Institute of Geophysics, University of Tehran, Iran

⁴M.Sc. Student of Geophysics, Earth Physics Department, Institute of Geophysics, University of Tehran, Iran

(Received: 03 Jul 2010, Accepted: 03 Jul 2012)

Abstract

Crustal Velocity Structure Model has a significant role in truly understanding of seismicity and also in relocating earthquakes. On the other hand, it can be used for recognizing major and potential seismic sources which is very critical for seismicity and earthquake hazard assessment studies. Seismic parameters simultaneous inversion

modeling is one of the most prevalent methods in the study of seismic velocity structure. This approach optimizes the coordinate parameters, time of the events and the velocity structures simultaneously by processing the initially assumed values. The resulted velocity model can be used for relocating the seismic events, registered on the local seismic network, and locating future seismic events as well as establishing the future seismic tomography studies.

In this study, the simultaneous inversion modeling and VELEST software were used in order to find an optimum crustal velocity model. located in east of Caspian Sea, north east of Iran and south of Touran plate tectonics, the Kope Dagh region lies within a broad zone of deformation and forms part of Alpine-Himalayan orogenic belt which is actually the conjunction zone of Touran and Iran plates. This region is separated from Touran plate by Main Kope Dagh Fault from the north, and its southern boundary is assumed Sabzevar Reverse Fault and Mayamey Reverse Fault. Our study area covers Sabzevar, Mashhad, Shirvan and Quchan cities. Quchan is located in the central Kope Dagh region and has experienced four destructive earthquakes in the past centuries (1851, 1871, 1893 and 1895). These earthquakes caused widespread devastation and heavy human loss in Quchan and many surrounding villages.

To estimate the layer configuration, velocities and thicknesses; we used first arrival travel times. More than 14000 first arrival data related to 2200 seismic events, registered by the local seismic network, were considered. They are all registered in the stations located less than 400 meters of epicenters. First arrival times were plotted versus their distances. The chart suggests three major layers; therefore we decided to fit three lines on three sections of the chart which are 50-100 meters, 120-180 meters and 190-350 meters, using least square method. By inverting the slopes of these three lines, we calculated the mean velocities for the three layers which are 6.01, 6.36 and 8.10 km/sec related to 0-20 km, 20-46 km and more than 46 km respectively. The second anomaly is corresponding to Moho Depth so it shows thickness of the crust in the study area. We used this resulted information as an initial velocity model to prepare numerous models needed for VELEST software runs.

In the next step of our work, in order to improve resulted velocity model, we used VELEST for seven run groups, each containing 20 independent runs using 20 initial models. These initial models are created by a FORTRAN program in a way that 20 initial models have all same thickness but different velocities which are restricted in defined intervals. We considered the convergence of the resulted models in each group to select one as the best run and then to determine a proper velocity model and Moho Depth as well. Hence the third group was selected as the best run group and therefore the related Moho Depth is 46. It is exactly the same as Moho Depth resulted from the first arrival travel times.

In the final step, we used the resulted velocity models in the previous step and calculated their mean values as the mean velocity model. This model was used as another initial model for the final run of VELEST program, but in this run we added several layers to initial model so that their velocities increase regularly. The calculated model, by the VELEST, is very similar to the mean resulted model of the second step. We determined this three layers model as an optimum velocity model for the study area in which the thicknesses of layers are 5, 10 and 31 and velocities of P-wave in these layers are 5.95, 6.1 and 7.97 km/sec respectively. Quchan station is determined as our origin station, therefore its time correction was assumed zero. The most time correction resulted by the final VELEST run is related to Moghan Station.

Key words: Kope Dagh, Simultaneous inversion, VELEST, Crustal seismic velocity model

۱ مقدمه

شرق دریای خزر و شمال شرق ایران و جنوب صفحه توران واقع شده است. ناحیه چین خورده کپه‌داغ قسمتی از کمریند کوهزایی آلپ-هیمالیا است که در شمال شرقی ایران و روی حاشیه جنوب غربی پوسته قاره‌ای توران قرار دارد و در محل برخورد صفحه ایران با صفحه توران واقع شده است (بربریان، ۱۹۸۱؛ روگوژین، ۱۹۹۵). این ناحیه را می‌توان ادامه شرقی کمریند آلپ-هیمالیایی در شمال شرق ایران دانست. این ناحیه از شمال با گسل اصلی کپه‌داغ از صفحه توران جدا می‌شود (چالنکو، ۱۹۷۵)، مرز جنوبی آن گسل‌های معکوس سبزوار و میامی است و مرز غربی و شرقی آن با مجموعه‌ای از فعالیت‌های لرزه‌ای و ساختمانی مشخص شده است (میرزایی و همکاران، ۱۹۹۸).

از دیدگاه ساختمانی کپه‌داغ همانند زاگرس است که مرز جنوب غربی کمریند آلپ-هیمالیا را تشکیل می‌دهد. رشته کوه‌های کپه‌داغ و بینالود با یک سامانه گسلی آلپی پسین که عمدتاً از گسل‌های امتدادلغز راست‌گرد با راستای SSE-NNW و گسل‌های امتدادلغز چپ‌گرد با راستای SW-NE تشکیل شده است که با مجموعه‌ای از گسل‌های رانده فرعی بریده می‌شود. (میرزایی و همکاران، ۱۹۹۸). رشته کوه‌های کپه‌داغ و بینالود با یک سامانه گسل‌ش مورب قطع شده‌اند. این سامانه گسلی شامل گسل‌های راست‌گرد NNW-SSE که عمدتاً در شرق کپه‌داغ هستند و گسل‌های چپ‌گرد NE-SW که بیشتر در شرق کپه‌داغ قرار دارند، است.

گسل‌های راست‌گرد شرق عمدتاً در محدوده‌ای با طول ۱۵۰ کیلومتر و عرض ۱۰ کیلومتر قرار دارند و در قسمت شمال غربی به گسل اصلی و در انتهای جنوب شرقی آنها به سمت حوزه رودخانه اترک منحرف شده‌اند (هالینگزورد و همکاران، ۲۰۰۶). مهم‌ترین این گسل‌ها (از نظر طول و میزان جابه‌جایی) در زون بخاردن-قوچان یافت می‌شوند که در لرزه‌خیزی منطقه نقشی کلیدی و

ساده‌ترین و دقیق‌ترین اندازه‌گیری در ثبت‌های لرزه‌ای، زمان‌سیرهای امواج لرزه‌ای است و دقت بیشتر تعیین محل زمین‌لرزه‌ها به توانایی تعیین دقیق‌تر زمان‌سیرهای نیاز دارد که این خود به دانستن ساختار سرعتی محیط عبور امواج لرزه‌ای وابسته است. درحالت کلی تعیین محل زمین‌لرزه‌ها با استفاده از مدل‌های یک‌بعدی صورت می‌گیرد. مدل ساختار سرعتی پوسته در فهم درست لرزه‌زمین ساخت ناحیه و نیز در تعیین موقعیت زمین‌لرزه‌ها با دقت بهتر، نقش ویژه‌ای دارد. از طرفی بررسی سرعتی ساختار پوسته را می‌توان در تشخیص و شناسایی چشم‌های بالقوه و پنهان زمین‌لرزه‌ای (گسل‌های لرزه‌زا) مورد استفاده قرار داد. اما ساختار محیط عموماً یک ساختار پیچیده سه‌بعدی است. لذا توموگرافی سه‌بعدی لرزه‌ای با استفاده از یک مدل بهینه یک‌بعدی، سعی دارد ساختار سه‌بعدی سرعتی محیط عبور امواج لرزه‌ای را به دست دهد.

در روش مدل‌سازی وارون هم‌زمان پارامترهای زمین‌لرزه‌ای، پارامترهای مکانی و زمانی زمین‌لرزه‌ها و ساختار سرعتی پوسته به صورت اولیه تعیین و طی مراحل مدل‌سازی وارون به طور هم‌زمان بهینه می‌شوند. مدل پوسته بهینه شده حاصل از این روش علاوه بر بهبود داده‌های مورد استفاده و کاربرد برای تعیین محل دقیق‌تر زمین‌لرزه‌های آینده، در بررسی‌های توموگرافی لرزه‌ای مورد استفاده قرار می‌گیرد (بایرام‌نژاد و همکاران، ۱۳۸۶). نرم‌افزار ولست یکی از نرم‌افزارهای شناخته شده برای مدل‌سازی وارون هم‌زمان است که به طور هم‌زمان محل کانون‌های زلزله‌ها، مدل پوسته و تصحیحات زمانی ایستگاه‌ها را بهینه می‌سازد. در این تحقیق برای به دست آوردن مدل پوسته بهینه از نرم‌افزار ولست استفاده شده است (کیسلینگ، ۱۹۹۵؛ بایرام‌نژاد و همکاران، ۱۳۸۶).

۲ لرزه‌زمین ساخت منطقه

منطقه‌ای که از آن تحت عنوان کپه‌داغ یاد می‌شود در

آنده، در بررسی‌های توموگرافی لرزه‌ای مورد استفاده قرار می‌گیرد.

منطقه مورد بررسی، دارای شبکه لرزه‌نگاری محلی شامل یازده ایستگاه لرزه‌نگاری با پوشش محلی نسبتاً مناسب است که قسمتی از شبکه لرزه‌نگاری ایران محسوب می‌شود و تاکنون بیش از ۲۲۰۰ زمین‌لرزه در آن ثبت و گزارش شده است (شکل ۱). اسامی و مشخصات این یازده ایستگاه در جدول ۱ و محل جغرافیایی آنها در شکل ۱، به همراه رومرکز زمین‌لرزه‌های ثبت شده، مشخص شده است.

۱-۳ آماده‌سازی داده‌ها

برای حل مسائل وارون، داشتن یک مدل اولیه مناسب ضروری است و هر چقدر این مدل اولیه به واقعیت نزدیک‌تر باشد، نتیجه بهتری حاصل خواهد شد. در مدل‌سازی وارون هم‌زمان نیز مدل سرعتی اولیه یکی از معلومات است. لذا به منظور برآورد اولیه از وضعیت لایه‌بندی، سرعت امواج طولی و ضخامت پوسته، از نمودار زمان‌سیر اولین فازهای رسیده به ایستگاه‌ها استفاده شد. برای این منظور بیش از ۱۴۰۰ زمان‌سیر اولین فازهای رسیده از تعداد ۲۲۰۰ زمین‌لرزه ثبت شده تا فاصله رومرکزی ۴۰۰ کیلومتری محاسبه و نسبت به فاصله رسم شدنند (شکل ۲).

این داده‌ها در سه بازه از فاصله رومرکزی (۱۰۰-۵۰)، (۵۰-۳۵) و (۳۵-۱۲۰) کیلومتری با استفاده از روش کمترین مربعات، با سه خط برآش شدن. بازه‌های فوق با توجه به انتظار رسیدن فازهای مستقیم و سرموچ‌ها و همچنین شکل کلی داده‌های رسم شده که نشان‌دهنده حداقل دو ناپوستگی در مدل سرعتی امواج طولی است، در نظر گرفته شدند. عکس شیب خطوط برآش شده با تقریب خوبی سرعت متوسط امواج طولی در لایه‌های مورد انتظار را نشان می‌دهد که به ترتیب معادل

مهم بازی می‌کنند (چالنکو، ۱۹۷۵).

گسل‌های چپ گرد NE-SW، عمدها در غرب کپه‌داغ قرار دارند و نسبت به گسل‌های راست گردی که قبل‌از ذکر شد، کوتاه‌ترند. بیشینه جابه‌جایی افقی در طول این گسل‌ها بین $2/4$ تا ۴ کیلومتر برآورد شده است. در ایران این گسل‌ها در شمال مراوه‌آپه قرار دارند (هالینگزورد و همکاران، ۲۰۰۶).

منطقه مورد بررسی شامل گسترده جغرافیایی ۳۶ تا ۳۸ درجه عرض شمالی و ۵۷/۵ تا ۶۰/۵ درجه طول شرقی است و شهرهای مشهد، قوچان، سبزوار و شیروان را در بر می‌گیرد (آمبرسیز و همکاران، ۱۹۸۲). این منطقه دارای شبکه لرزه‌نگاری محلی شامل یازده ایستگاه لرزه‌نگاری با پوشش محلی نسبتاً مناسب است که خود قسمتی از شبکه لرزه‌نگاری ایران محسوب می‌شود و تاکنون بیش از ۲۲۰۰ زمین‌لرزه در آن ثبت و گزارش شده است. ویژگی فعالیت لرزه‌ای این منطقه، فراوانی نسبی زمین‌لرزه‌های بزرگ با عمق کم است و زمین‌لرزه‌ای با عمق متوسط در این ناحیه به ثبت نرسیده است. عمدۀ فعالیت‌های لرزه‌ای در این ناحیه را بین اعماق ۱۰ تا ۱۲ کیلومتر در نظر گرفته‌اند (چالنکو، ۱۹۷۵؛ جکسون و مکنزی، ۱۹۸۴). با بررسی عمق مoho در این ناحیه، ضخامت پوسته بین ۳۶ تا ۴۷ در نظر گرفته شده است (دهقانی و ماکریس، ۱۹۸۳).

۳ تعیین ساختار سرعتی پوسته در گسترده قوچان
روش مدل‌سازی وارون هم‌زمان پارامترهای زمین‌لرزه‌ای، امروزه به صورت گسترش‌های در بررسی ساختار سرعتی مورد استفاده قرار می‌گیرد. در این روش، پارامترهای مکانی و زمانی زمین‌لرزه‌ها و ساختار سرعتی پوسته، به صورت اولیه تعیین و طی مراحل مدل‌سازی وارون به‌طور هم‌زمان بهینه می‌شوند. مدل پوسته بهینه شده حاصل از این روش علاوه بر بهبود داده‌های مورد استفاده و کاربرد برای تعیین محل دقیق‌تر زمین‌لرزه‌های

هم‌زمان زمان‌سیرها، تعداد بیست مدل محاسبه شد. مدل‌های نهایی محاسبه شده با ولست در شکل ۵ نشان داده شده است. نتایج به دست آمده به طور کلی نشان‌دهنده شش لایه سرعتی متفاوت است ولی برای اطمینان بیشتر از این لایه‌ها و تعیین سرعت موج P در هر لایه، لازم است اجرای ولست در دفعات بیشتری صورت گیرد. بدین‌منظور، با استفاده از مدل‌های اولیه تولید شده از روی اجرای قبلی ولست این فرایند تکرار شد.

لذا از مدل متوسط به دست آمده در حکم مدل اولیه مرحله بعد استفاده شد و تعداد بیست مدل اولیه دیگر براساس آن تهیه و در نرم‌افزار ولست به کار گرفته شد (باشه تغییر سرعت لایه‌ها $\pm 0/3$ است). همان‌طور که در شکل ۵ مشخص است، مرزهای لایه‌ها، مخصوصاً عمق موهو دارای عدم قطعیت نامطلوبی هستند. برای اطمینان بیشتر از این مرزهای لایه‌ها، به خصوص عمق موهو، به دفعات بیشتری از اجرای ولست نیاز داریم. برای این‌منظور و در طی مرحله دوم تعداد هفت اجرای بیست‌تایی دیگر از ولست صورت گرفت.

شکل‌های ۶ تا ۷ مدل‌های اولیه و مدل‌های خروجی مربوط به هفت اجرای مرحله دوم به کار گیری ولست را نشان می‌دهد. در این اجراهای عمق موهو در مدل‌های اولیه ورودی از ۴۴ کیلومتر تا ۵۰ کیلومتر تغییر می‌کند. شکل ۸ نیز منحنی‌های تغییرات باقی‌مانده کلی از هر اجرای برنامه ولست را نشان می‌دهد. روند بهبود تغییرات باقی‌مانده کلی از اجرای اول تا سوم قابل مشاهده است ولی در بقیه اجراهای بهبود محسوسی مشاهده نمی‌شود. این مسئله ممکن است به این دلیل پیش آمده باشد که زمین‌لرزه‌های ثبت شده در شبکه لرزه‌نگاری منطقه به اندازه کافی عمیق نیستند. میانگین عمق این زمین‌لرزه‌ها حدود ۲۲ کیلومتر ثبت شده است. لذا برای تعیین یکی از این اجراهای در حکم بهترین اجرا و به دنبال آن برای تعیین بهترین عمق موهو، روی همگرایی مدل‌های خروجی تأکید شد. در شکل‌های ۶ و ۷، همگرایی مدل‌های خروجی

۶/۳۶، ۶/۱۰ و ۸/۱۰ کیلومتر بر ثانیه محاسبه شدند (شکل ۳). با توجه به سرعت‌های به دست آمده، معادلات مربوط به خطوط برازش شده و عمق متوسط زمین‌لرزه‌ای ناحیه که حدود ۲۲ کیلومتر است، ناپیوستگی‌های مربوط به این سرعت‌ها به ترتیب ۲۲ و ۴۷ کیلومتر محاسبه شد. ناپیوستگی دوم مربوط به عمق موهو است.

۲-۳ مدل سرعتی بهینه

از داده‌های تعداد ۲۲۰۰ زمین‌لرزه ثبت شده در منطقه، تعداد ۶۰۰ زمین‌لرزه در حکم ورودی موردنیاز برای وارون‌سازی هم‌زمان در برنامه ولست، به صورتی که گپ آزمومتی آنها بین ۰ تا ۲۷۰ باشد، انتخاب شد. از این داده‌ها در وارون‌سازی هم‌زمان زمان‌سیرها با استفاده از نرم‌افزار ولست، به منظور یافتن یک مدل بهینه یک‌بعدی مناسب، استفاده شده است. این عمل شامل اجرای برنامه ولست در طی چندین مرحله و در هر مرحله اجرای آن برای بیست مدل اولیه است.

از مدل اولیه به دست آمده از نمودار زمان‌سیر برای برآورد مدل اولیه مناسب، برای استفاده در برنامه ولست به منزله مدل اولیه ورودی برنامه، استفاده شد. برای این منظور با کد فرترن (Fortran) برنامه‌ای نوشته شد که تعداد مشخصی مدل اولیه تولید کند. به طوری که سرعت در همه این مدل‌ها، سرعت مشخصی باشد که در بازه مشخص تغییر می‌کند. با این ترتیب و با استفاده از این برنامه، تعداد بیست مدل اولیه براساس مدل اولیه به دست آمده از نمودار زمان‌سیرها تولید شد (باشه تغییر سرعت لایه‌ها $\pm 0/۴$ است). برای مشاهده جزئیات بیشتر در خروجی‌های برنامه ولست، این بیست مدل اولیه به زیرلایه‌هایی با ضخامت دو کیلومتر تقسیم شدند (شکل ۴).

مدل‌های اولیه‌ای که قبلاً ذکر شد در برنامه ولست مورد استفاده قرار گرفت و با استفاده از روش وارون‌سازی

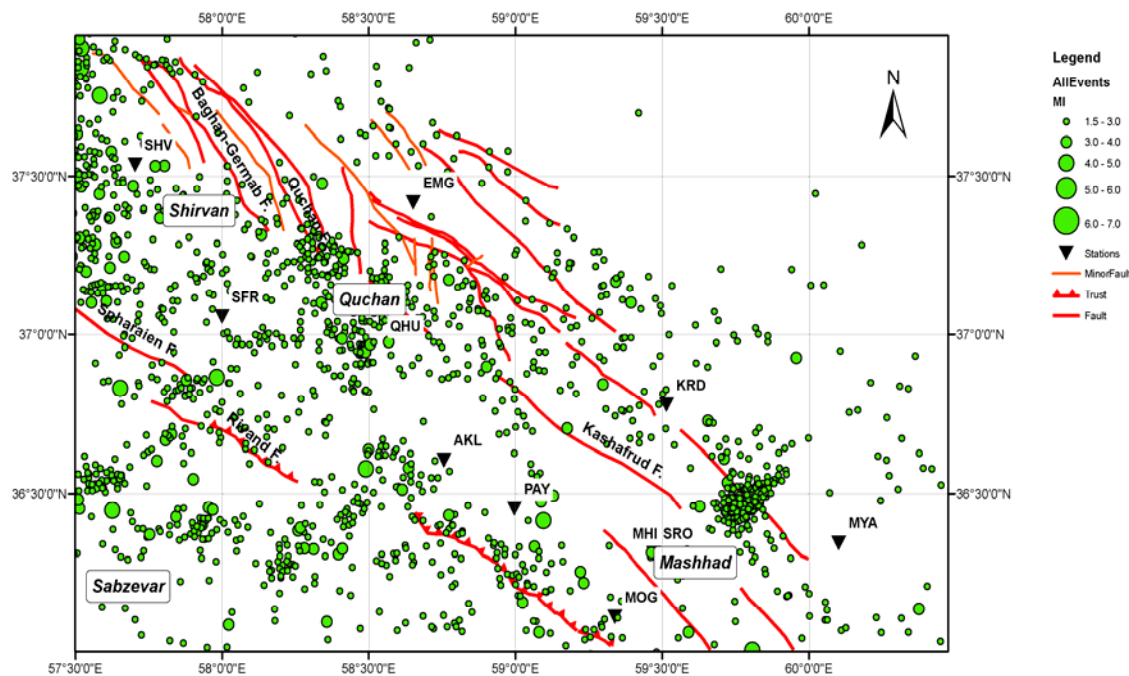
ولست، مدل سرعتی یک بعدی نهایی محاسبه شد که به مدل متوسط قبلی شبیه است. لذا این مدل، در حکم مدل سرعتی بهینه موج P برای گستره مورد بررسی تعیین شد. نمودار این مدل نهایی برحسب عمق در شکل ۱۰ و مقادیر دقیق سرعت‌ها و عمق لایه‌ها در جدول ۲ نشان داده شده است.

همان‌گونه که در شکل ۱۰ و جدول ۲ نشان داده شده است، مدل سرعتی بهینه به دست آمده، یک مدل سه‌لایه با ضخامت‌های ۵، ۱۰ و ۳۱ کیلومتر با سرعت‌های به ترتیب ۵/۹۵، ۵/۶۱ و ۷/۹۷ کیلومتر بر ثانیه است. روند تغییرات باقی‌مانده کلی مربوط به مرحله اول تا سوم اجرای ولست بهبود قابل توجهی نشان می‌دهد.

منحنی‌های تغییرات باقی‌مانده کلی مربوط به مرحله اول تا سوم اجرای ولست در شکل ۱۱ نشان داده شده‌اند. روند بهبود تغییرات باقی‌مانده کلی بهخوبی در این شکل قابل مشاهده است.

برنامه ولست در اجرای سوم مربوط به عمق موهو ۴۶ کیلومتری، در نمودارهای ۵ و ۶ از شکل ۶ بهخوبی قابل مشاهده است و نسبت به بقیه اجراء همگرایی بهتری در مدل‌های سرعتی خروجی ولست نشان می‌دهد. بنابراین اجرای سوم در حکم مناسب‌ترین اجرای برنامه ولست در این مرحله در نظر گرفته شد. و مقدار میانگین عمق موهو در محدوده مورد بررسی ۴۶ کیلومتر تعیین شد. این مقدار دقیقاً همان عمق موهوی محاسبه شده با استفاده از منحنی‌های زمان سیر است. میانگین مدل‌های سرعتی خروجی در اجرای سوم در شکل ۹ نشان داده شده است.

در مرحله سوم و آخر، مدل متوسط به دست آمده از مدل‌های خروجی اجرای سوم، در حکم مدل اولیه اجرای نهایی برنامه ولست در نظر گرفته شد. با این تفاوت که به تعداد لایه‌ها اضافه شد و تغییر سرعت‌ها در این لایه‌ها به صورت پله‌ای صورت گرفت. بعد از اجرای نهایی برنامه

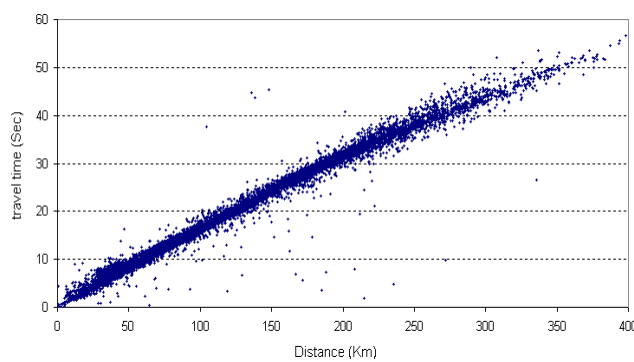


شکل ۱. نقشه گسل‌های مهم منطقه مورد بررسی به همراه رو تعداد کل زمین‌لرزه‌های ثبت شده و محل ایستگاه‌های لرزه‌نگاری.

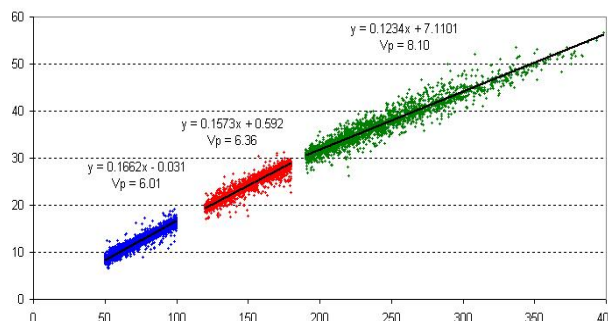
کلی مشهود بود. تصحیحات ایستگاهی به دست آمده در جدول ۳ آورده شده که بیشترین مقدار تصحیح زمانی، مربوط به ایستگاه مغان است (MOG). ایستگاه قوچان (QHU) به علت واقع شدن در حدود مرکز شبکه، به مترله ایستگاه مبدأ با تصحیح ایستگاهی صفر در نظر گرفته شده است.

۳-۳ تصحیحات ایستگاهی

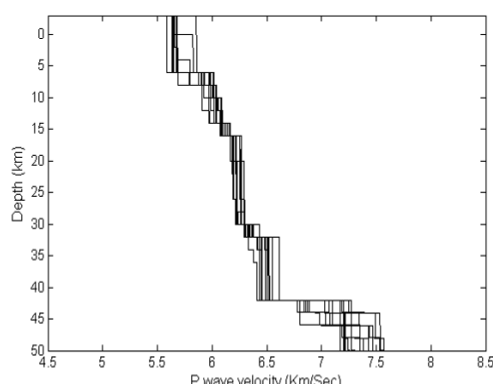
با انتخاب مدل نهایی بهینه شده در حکم مدل اولیه و اعمال تصحیحات ایستگاهی حاصل در هر مورد برنامه ولست با سبک تک رویدادی مجدد اجرا و چگونگی تغییرات باقی‌مانده کلی با آنچه که از مدل اولیه به دست آمده بود مقایسه شد که در هر مورد بهبود باقی‌مانده



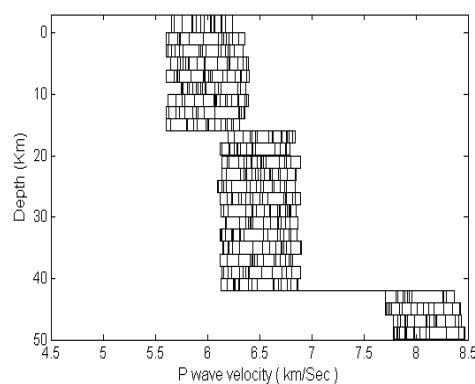
شکل ۲. نمودار زمان سیر اولین فازهای رسیده به ایستگاهها.



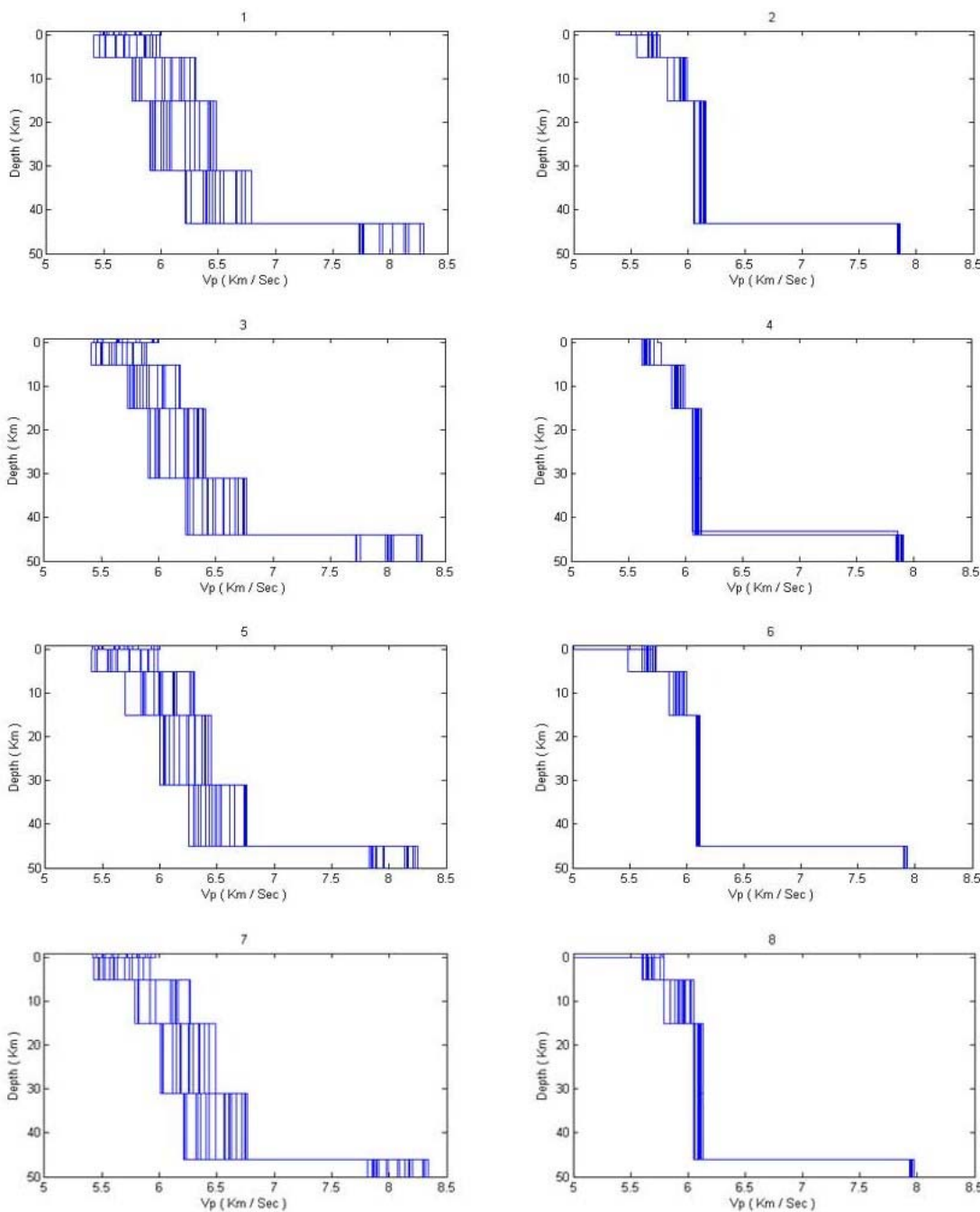
شکل ۳. نمودار زمان سیر اولین فازهای رسیده به ایستگاهها که در سه بازه از فاصله رومترکی (۱۰۰-۵۰۰)، (۱۲۰-۱۸۰) و (۱۸۰-۳۵۰) کیلومتری با استفاده از روش کمترین مربعات، با سه خط برآزش شده‌اند.



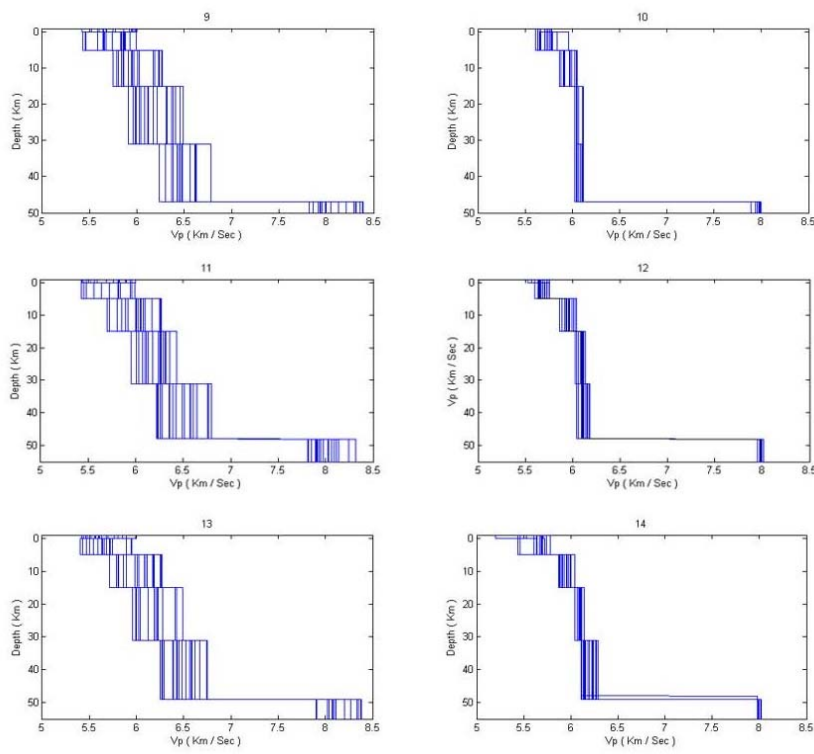
شکل ۵. مدل‌های اولیه مورد استفاده در نرم‌افزار ولست در مرحله اول.



شکل ۴. مدل‌های اولیه مورد استفاده در نرم‌افزار ولست در مرحله اول.



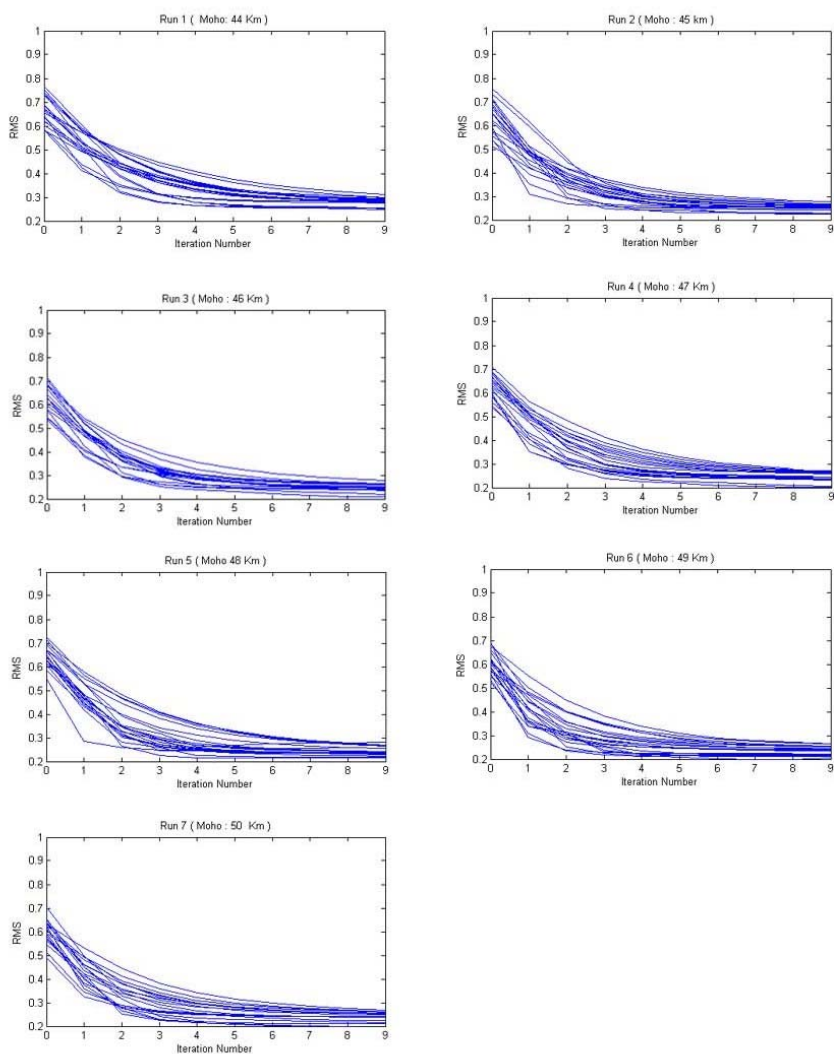
شکل ۶. شماره‌های ۱ و ۲ بهترتب مدل‌های اولیه (بیست مدل) و مدل‌های خروجی مربوط به اجرای اول از مرحله دوم برنامه ولست. در مدل‌های اولیه ورودی برنامه، عمق موهو ۴۴ کیلومتر در نظر گرفته شده است. ۳ و ۴ بهترتب مدل‌های اولیه (بیست مدل) و مدل‌های خروجی مربوط به اجرای دوم از مرحله دوم برنامه ولست (در مدل‌های اولیه ورودی، عمق موهو ۴۵ کیلومتر در نظر گرفته شده است). ۵ و ۶ بهترتب مدل‌های اولیه و مدل‌های خروجی مربوط به اجرای سوم از مرحله دوم برنامه ولست (در مدل‌های اولیه ورودی، عمق موهو ۴۶ کیلومتر در نظر گرفته شده است). شماره‌های ۷ و ۸ بهترتب مدل‌های اولیه و مدل‌های خروجی مربوط به اجرای چهارم از مرحله دوم برنامه ولست (در مدل‌های اولیه ورودی، عمق موهو ۴۷ کیلومتر در نظر گرفته شده است).



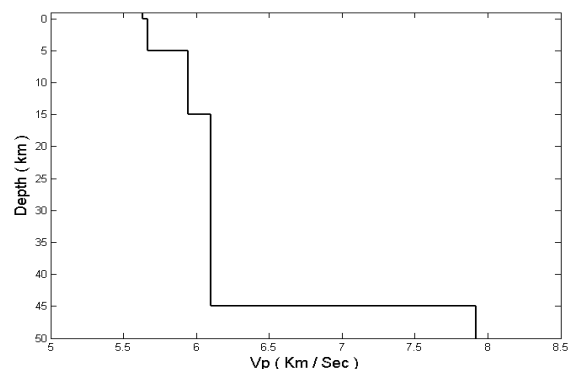
شکل ۷. شماره‌های ۹ و ۱۰ به ترتیب مدل‌های اولیه (بیست مدل) و مدل‌های خروجی مربوط به اجرای پنجم از مرحله دوم برنامه ولست (در مدل‌های اولیه ورودی، عمق مoho ۴۸ کیلومتر در نظر گرفته شده است). ۱۱ و ۱۲ به ترتیب مدل‌های اولیه و مدل‌های خروجی مربوط به اجرای ششم از مرحله دوم برنامه ولست (در مدل‌های اولیه ورودی، عمق مoho ۴۹ کیلومتر در نظر گرفته شده است). شماره‌های ۱۳ و ۱۴ به ترتیب مدل‌های اولیه و مدل‌های خروجی مربوط به اجرای هفتم از مرحله دوم برنامه ولست (در مدل‌های اولیه ورودی، عمق مoho ۵۰ کیلومتر در نظر گرفته شده است).

جدول ۱. مشخصات یازده ایستگاه لرزه‌نگاری محل مربوط به شبکه‌های قوچان و مشهد که در داده‌های آنها در تعیین ساختار سرعتی پوسته مورد استفاده قرار گرفته‌اند.

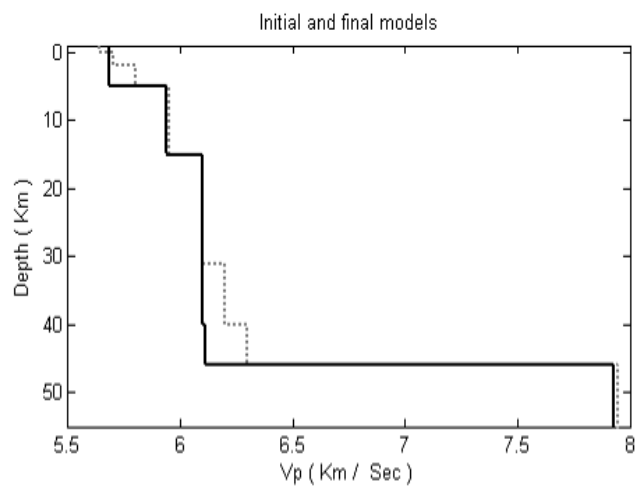
نام ایستگاه	نام اختصاری	طول جغرافیایی	عرض جغرافیایی	ارتفاع (km)
قوچان	QHU	۵۸.۰۴۹	۳۷.۰۷۳	۱۳۲۰
اخلمد	AKL	۵۸.۷۵۷	۳۶.۶۰۲	۲۵۰۸
امام قلی	EMG	۵۸.۶۵۲	۳۷.۴۱۰	۲۵۶۵
اسفراین	SFR	۵۸.۰۰۰	۳۷.۰۵۴	۲۴۴۸
شیروان	SHV	۵۷.۷۰۳	۳۷.۵۳۵	۱۹۲۵
میامی	MYA	۶۰.۱۰۲	۳۶.۳۴۲	۱۶۸۴
کاردہ	KRD	۵۹.۰۱۰	۳۶.۷۷۶	۲۲۴۵
پایه	PAY	۵۸.۹۹۶	۳۶.۴۰۰	۲۱۰۰
مغان	MOG	۵۹.۳۴۰	۳۶.۱۰۸	۲۵۷۷
مشهد	MHI	۵۹.۴۷۱	۳۶.۳۰۹	۱۱۵۰
مشهد	SRO	۵۹.۴۷۱	۳۶.۳۰۹	۱۰۵۰



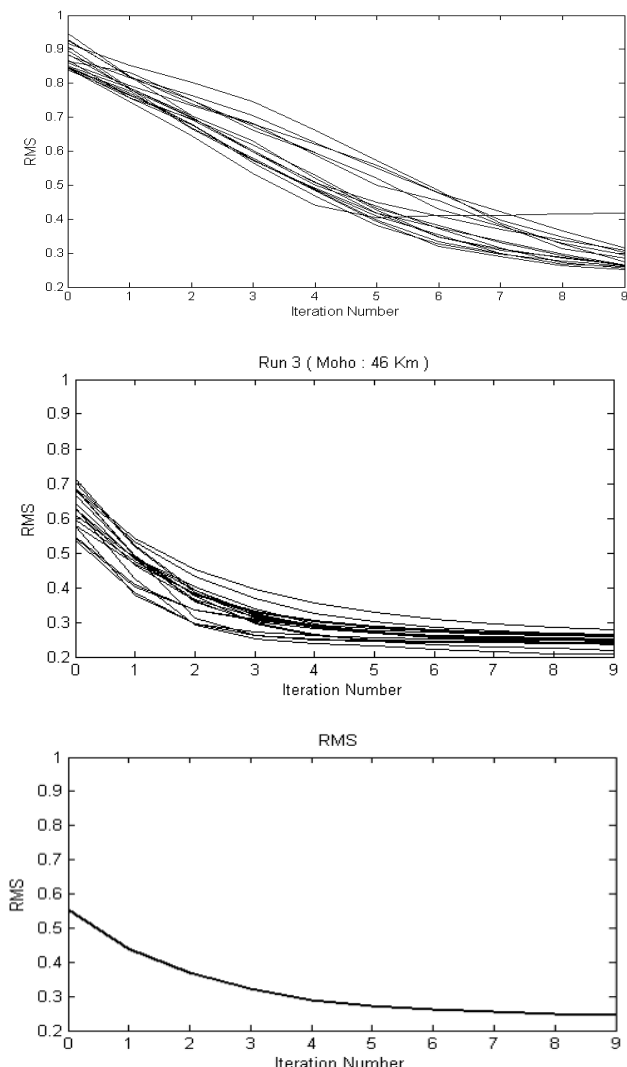
شکل ۸ منحنی های تغییرات باقی مانده کلی از اجراهای اول تا هفتم از مرحله دوم برنامه و لست. در اجراهای اول تا هفتم بهترتب، در مدل های اولیه ورودی، عمق موهو ۴۴ تا ۵۰ کیلومتر در نظر گرفته شده است. روند بهبود تغییرات باقی مانده کلی از اجرای اول تا سوم قابل مشاهده است ولی در بقیه اجراهای بهبود محسوسی مشاهده نمی شود.



شکل ۹. مدل سرعتی متوسط از تعداد بیست مدل خروجی اجرای سوم از مرحله دوم برنامه و لست.



شکل ۱۰. مدل اولیه و نهایی در مرحله سوم و نهایی اجرای برنامه و لست. خط نقطه‌چین مدل سرعتی اولیه و خط تپیر مدل سرعتی نهایی را نشان می‌دهد.



شکل ۱۱. از بالا به پایین به ترتیب، منحنی‌های تغییرات باقی‌مانده کلی مربوط به مرحله اول تا سوم اجرای و لست. روند بهبود تغییرات باقی‌مانده کلی به خوبی در این شکل قابل مشاهده است.

طولی و ضخامت پوسته، از نمودار زمان سیر اولین فازهای رسیده به ایستگاهها استفاده شد. برای این منظور بیش از ۲۲۰۰ زمان سیر اولین فازهای رسیده از تعداد ۱۴۰۰ زمین لرزه ثبت شده تا فاصله رومر کزی ۴۰۰ کیلومتری محاسبه و نسبت به فاصله رسم شد و در سه بازه از فاصله رومر کزی (۱۹۰-۳۵۰)، (۱۲۰-۱۸۰) و (۵۰-۱۰۰) کیلومتری با استفاده از روش کمترین مربعات، با سه خط برآراش شد. عکس شب خطوط برآراش شده با تقریب خوبی سرعت متوسط امواج طولی در لایه‌های موردنظر را نشان می‌دهد که به ترتیب معادل $6/10$ و $8/10$ کیلومتر بر ثانیه محاسبه شدند. ناپیوستگی‌های مربوط به این سرعت‌ها به ترتیب 20 و 46 کیلومتر محاسبه شد. ناپیوستگی دوم مربوط به عمق موهو بود که نشان‌دهنده ضخامت پوسته در ناحیه مورد بررسی است.

برای اطمینان بیشتر از این مرزها، به خصوص عمق موهو، تعداد هفت اجرای بیست‌تایی دیگر از ولست صورت گرفت. برای تعیین یکی از این اجراهای در حکم بهترین اجرا و به دنبال آن برای تعیین بهترین عمق موهو، روی همگرایی مدل‌های خروجی تاکید شد. همگرایی مدل‌های خروجی برنامه ولست در اجرای سوم مربوط به عمق موهو 46 کیلومتری، نسبت به بقیه اجراهای همگرایی بهتری در مدل‌های سرعتی خروجی ولست نشان می‌دهد. بنابراین اجرای سوم در حکم مناسب‌ترین اجرای برنامه ولست در این مرحله در نظر گرفته و مقدار میانگین عمق موهو نیز در محدوده مورد بررسی 46 کیلومتر تعیین شد. این مقدار دقیقاً همان عمق موهوی محاسبه شده با استفاده از منحنی‌های زمان سیر است.

در مرحله بعد مدل نهایی سرعتی بهینه موج P برای گستره مورد محاسبه شد که به مدل متوسط قبلی شبیه و شامل سه لایه با ضخامت‌های 5 ، 10 و 31 کیلومتر با سرعت‌های به ترتیب $5/95$ ، $5/98$ و $7/97$ کیلومتر بر ثانیه است. با استفاده از مدل نهایی و اعمال تصحیحات

جدول ۲. شامل مقادیر دقیق سرعت‌ها و عمق لایه‌های مدل سرعتی یک‌بعدی بهینه.

سرعت موج P km/Sec	عمق لایه km
برحسب	برحسب
۵.۶۸	۰
۵.۹۵	۵
۶.۱	۱۵
۷.۹۷	۴۶

جدول ۳. تصحیحات زمانی مربوط به ایستگاه‌ها. ایستگاه قرچان (QHU) به عنوان شدن در حدود مرکز شبکه، در حکم ایستگاه مبدأ با تصحیح ایستگاهی صفر در نظر گرفته شده است.

تصحیح زمانی	نام اختصاری	نام ایستگاه
0.00	QHU	قرچان
-0.16	AKL	اخلمد
-0.02	EMG	امام قلی
-0.14	SFR	اسفراین
-0.08	SHV	شیروان
-0.14	MYA	میامی
0.07	KRD	کاردنه
-0.09	PAY	پایه
0.33	MOG	مغان
0.19	MHI	مشهد
-0.20	SRO	مشهد

۴ بحث و نتیجه‌گیری
به منظور برآورد اولیه وضعیت لایه‌بندی، سرعت امواج

- provinces, J. Earthquake prediction Research, 7, 465-495.
- Rogozhin, E. A, 1995, Tectonic position and geologic manifestations of the Ashkhabad earthquake, Institute of Physics of the Earth, Russian Academy of Sciences.
- Tchalenko, J. S., 1975, Seismicity and structure of the Kopeh Dagh (Iran,USSR) Landon, A.G.B.DA, 278(1275), 1-28.

ایستگاهی حاصل در هر مورد t برنامه ولست با شبکه تک رویدادی مجدد اجرا شد و چگونگی تغییرات باقی‌مانده کلی با آنچه که از مدل اولیه به دست آمده بود، مورد مقایسه قرار گرفت. ایستگاه قوچان به علت واقع شدن در حدود مرکز شبکه، در حکم ایستگاه مبدأ با تصحیح ایستگاهی صفر در نظر گرفته شد. و بیشترین مقدار تصحیح زمانی، مربوط به ایستگاه مغان بود. از مدل سرعتی بهینه یک‌بعدی به دست آمده می‌توان در یافتن مدل سرعتی سه‌بعدی پوسته استفاده کرد. مدل سه‌بعدی به دست آمده با روش توموگرافی لرزه‌ای، تا حد بسیار زیادی به درستی مدل یک‌بعدی بستگی دارد.

منابع

- بایرام‌نژاد، ا.، میرزایی، م. و قیطانچی، م. ر.، ۱۳۸۶، تعیین مدل پوسته بهینه برای شمال غرب ایران، با استفاده از برگردان همزمان زمان سیر امواج زلزله‌های محلی، نشریه تحقیقاتی فیزیک زمین و فضا، ۳(۳۳)، ۴۷-۵۹.
- Ambraseys, N., and Melville, C., 1982, A history of Persian earthquakes, Cambridge University Press, Cambridge, UK, 219 pp.
- Berberian, M., 1981, Active faulting and tectonics of Iran: Zagros-Hindukush-Himalaya Geodynamic evolution Gupta, H. K. and Delany, F. M. (eds), Am. Geophys. Union and Geol. Soc. Am., Geodyn., 3, 33-69.
- Dehghani, G. A. and Makris, J., 1983, The gravity field and crustal structure in Iran, in geodynamic project (geotraverse) in Iran, Geol. Surv. Iran, 51, 51-67.
- Hollingsworth, J., Jackson, J., Walker, R., Gheitanchi, M. R. and Bolourchi, M. J., 2006, Strike-slip faulting, rotation and along-strike elongation in the Kopeh Dagh Mountains, NE Iran, Geophys. J. Int., 166, 1161-1177.
- Jackson, J. A. and McKenzi, D. P., 1984, Active tectonics of the Alpine-Himalayan belt between Western Turkey and Pakistan, Geophys. J. R. astr. Soc., 77, 185-264.
- Kissling, E., 1995, Institute of Geophysics, ETH Zuerich, Program VELEST USERS GUIDEShort Introduction.
- Mirzaei, N., Gao, M. and Chen, Y. T., 1998, Seismic source regionalization for seismic zoning of Iran: major Seismotectonic